

# Protokoll zur Vorlesung Quantencomputing WS 23/24

W. Bley

1. Februar 2024

## 1 Die Quanten-Fourier-Transformation

**Definition 1.0.1** Sei  $n \in \mathbb{N}$  und  $\{|j\rangle^n : 0 \leq j < 2^n\}$  die Rechenbasis des  ${}^q\mathbb{H}^{\otimes n}$ . Weiter sei

$$\omega := \exp(2\pi i/2^n).$$

Dann ist die Quanten-Fourier-Transformation  $F$  gegeben durch

$$|j\rangle^n \xrightarrow{F} \frac{1}{\sqrt{2^n}} \sum_{k=0}^{2^n-1} \omega^{jk} |k\rangle^n.$$

**Remark 1.0.2** Für ein beliebiges Element

$$|x\rangle = \sum_{j=0}^{2^n-1} x_j |j\rangle^n \in {}^q\mathbb{H}^{\otimes n}$$

erhält man

$$F|x\rangle = \sum_{k=0}^{2^n-1} y_k |k\rangle^n.$$

mit

$$y_k = \frac{1}{\sqrt{2^n}} \sum_{j=0}^{2^n-1} x_j \omega^{jk}.$$

Die Zahlen  $y_0, \dots, y_{2^n-1}$  sind gerade die diskreten Fouriertransformierten der komplexen Zahlen  $x_0, \dots, x_{2^n-1}$ .

**Lemma 1.0.3** Die Quanten-Fourier-Transformation ist unitär. Für die Inverse  $F^{-1}$  gilt:

$$|k\rangle^n \xrightarrow{F^{-1}} \frac{1}{\sqrt{2^n}} \sum_{s=0}^{2^n-1} \omega^{-sk} |s\rangle^n.$$

**Definition 1.0.4** Für  $a_1, \dots, a_m \in \{0, 1\}$  setzen wir

$$0.a_1 a_2 \dots a_m := \frac{a_1}{2} + \frac{a_2}{2^2} + \dots + \frac{a_m}{2^m} = \sum_{l=1}^m \frac{a_l}{2^l}.$$

**Lemma 1.0.5** Sei  $|x\rangle^n$  ein Element der Rechenbasis und  $x = \sum_{j=0}^{2^n-1} x_j 2^j$  mit  $x_j \in \{0, 1\}$  seine 2-adische Entwicklung. Dann gilt:

$$F|x\rangle^n = \frac{1}{\sqrt{2^n}} \bigotimes_{j=0}^{n-1} [ |0\rangle + e^{2\pi i 0.x_j \dots x_0} |1\rangle ].$$

**Definition 1.0.6** Sei  $n \in \mathbb{N}$ .

a) Für  $0 \leq j < n$  setzen wir

$$H_j := \text{id}^{\otimes(n-1+j)} \otimes H \otimes \text{id}^{\otimes j}$$

mit der Hadamardtransformation  $H$ .

b) Für  $j, k \in \{0, \dots, n-1\}$  mit  $j > k$  setzen wir  $\theta_{jk} := \pi/2^{j-k}$  und definieren den bedingten Phasenschieber durch

$$P_{jk} = \text{id}^{\otimes(n-1-k)} \otimes |0\rangle\langle 0| \otimes \text{id}^{\otimes k} + \text{id}^{\otimes(n-1-j)} \otimes [|0\rangle\langle 0| + e^{i\theta_{jk}} |1\rangle\langle 1|] \otimes \text{id}^{\otimes(j-k-1)} \otimes |1\rangle\langle 1| \otimes \text{id}^{\otimes k}.$$

**Satz 1.0.7** Für die Quanten-Fourier-Transformation gilt

$$\begin{aligned} F &= S^{(n)} \prod_{j=0}^{n-1} \left( \left[ \prod_{k=0}^{j-1} P_{jk} \right] H_j \right) \\ &= S^{(n)} H_0 P_{10} H_1 P_{20} P_{21} H_2 P_{30} P_{31} P_{32} H_3 \cdots P_{n-1,0} P_{n-1,1} \cdots P_{n-1,n-2} H_{n-1}. \end{aligned}$$

Hierbei ist  $S^{(n)}$  eine einfache Transformation, die die Reihenfolge der qBits umkehrt.

**Folgerung 1.0.8** Zur Berechnung der Quanten-Fourier-Transformation benötigt man  $O(n^2)$  elementare Rechenschritte.

## 2 Die wichtigsten Quantenalgorithmen

### 2.1 Der Phasenschätzer

Sei  $U: \mathbb{H}^{\otimes n} \rightarrow \mathbb{H}^{\otimes n}$  ein unitärer Operator und  $|u\rangle$  ein Eigenvektor. Sei  $U|u\rangle = e^{2\pi i\varphi}|u\rangle$  mit  $0 \leq \varphi < 1$ . Es sei  $\varphi = 0.\varphi_1\varphi_2\varphi_3\dots$  mit  $\varphi_j \in \{0, 1\}$ . Ziel des Phasenschätzers ist die Berechnung einer guten Approximation an  $\varphi$ .

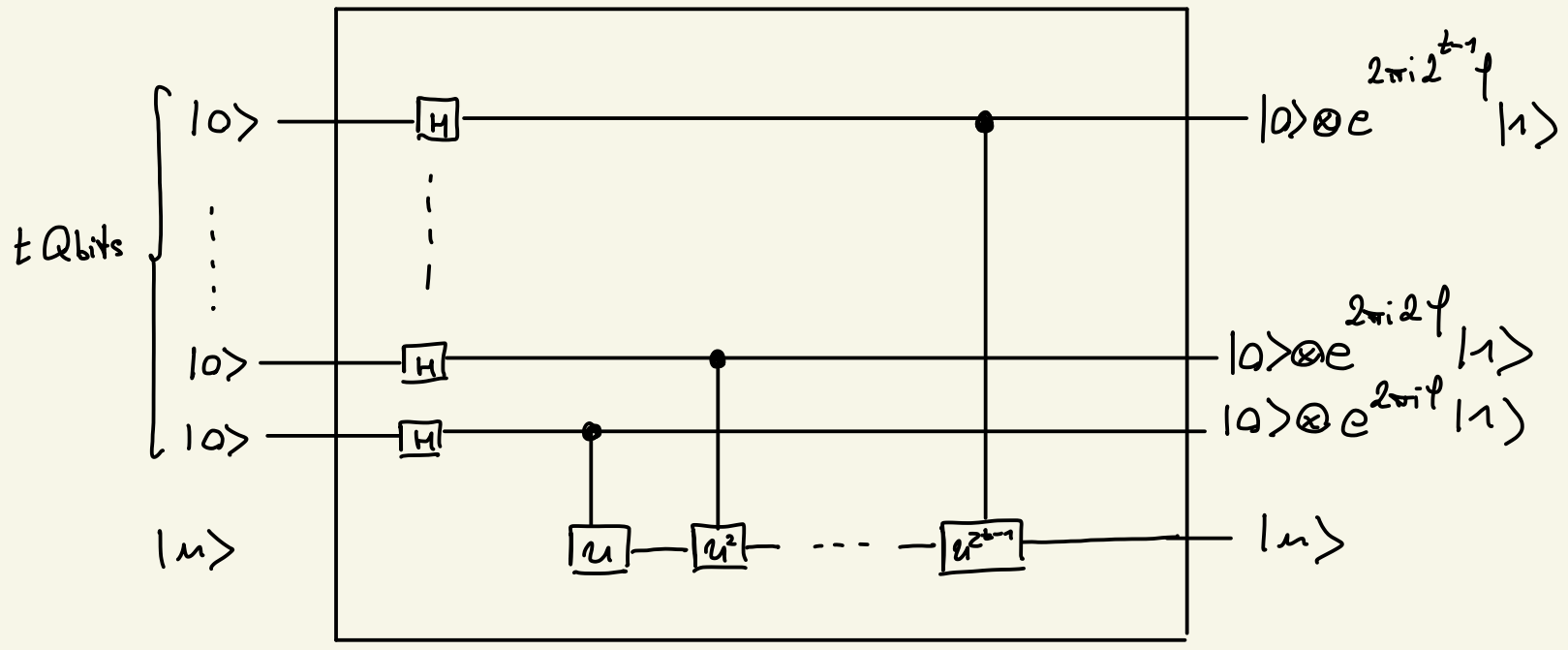
Wir setzen voraus, dass wir über zwei schwarze Schachteln verfügen:

**Black Box 1** präpariert den Eigenzustand  $|u\rangle$ .

**Black Box 2** berechnet ein kontrolliertes  $U^{2^j}$  für  $j \in \mathbb{N}_0$ .

Der Algorithmus nutzt zwei Register: ein  $t$ -Qbit-Register, das zu Anfang auf  $|0\rangle^t$  gesetzt wird sowie ein  $n$ -Qbit-Register, das zu Anfang den Eigenzustand  $|u\rangle$  enthält.

**Schritt 1** Durchlaufe den folgenden Schaltkreis.



**Schritt 2** Führe eine inverse Quanten-Fourier-Transformation im ersten Register durch.

**Schritt 3** Miss das erste Register.

Im ersten Schritt geht der Zustand  $|0\rangle^t \otimes |u\rangle$  über in den Zustand

$$\frac{1}{\sqrt{2^t}} \bigotimes_{k=t-1}^0 \left( |0\rangle + e^{2\pi i 2^k \varphi} |1\rangle \right) \otimes |u\rangle.$$

Das erste Register ist also im Zustand

$$|v\rangle = \frac{1}{\sqrt{2^t}} \bigotimes_{k=t-1}^0 \left( |0\rangle + e^{2\pi i 2^k \varphi} |1\rangle \right).$$

Man beachte, dass

$$e^{2\pi i 2^k \varphi} = e^{2\pi i 0.\varphi_{k+1}\varphi_{k+2}\varphi_{k+3}\dots}$$

gilt. Im Fall  $\varphi = 0.\varphi_1\varphi_2\dots\varphi_{t-1}$  bewerkstelligt die inverse Quantenfouriertransformation nun gemäß Lemma 1.0.5 in einem polynomiellen Schritt die Zustandsänderung  $|v\rangle \mapsto |x\rangle^t$  mit

$$x = \sum_{j=0}^{t-1} \varphi_j 2^j.$$

Wir erhalten also durch  $x/2^t$  den exakten Wert  $\varphi$ .

Im Allgemeinen messen wir ein  $|x\rangle$  und setzen  $\tilde{\varphi} := x/2^t$ . Sei nun  $m \in \mathbb{N}$  und  $\varepsilon > 0$  gegeben. Um  $\varphi$  mit einer Erfolgswahrscheinlichkeit  $\geq 1 - \varepsilon$  und einem Fehler  $|\varphi - \tilde{\varphi}| \leq 1/2^m$  zu berechnen, muss man

$$t = m + \left\lceil \log_2 \left( 2 + \frac{1}{2\varepsilon} \right) \right\rceil$$

wählen.

## 2.2 Simons Algorithmus

Sei  $f: \{0, 1\}^n \rightarrow \{0, 1\}^n$  eine Funktion, die folgender Bedingung genügt. Sie ist entweder bijektiv (Typ **B**) oder es gibt ein  $s \in \{0, 1\}^n$  mit  $s \neq 0$ , so dass gilt:

$$f(x) = f(x') \iff x \oplus s = x' \text{ oder } x = x'.$$

$f$  ist dann periodisch (Typ **P**) mit Periode  $s$ .

Ziel von Simons Algorithmus ist die Bestimmung des Typs und gegebenenfalls der Periode  $s$ .

Wir brauchen zwei  $n$ -Qbit-Register  $H^A$  und  $H^B$  sowie ein Quantenorakel

$$\begin{aligned} U_f: H^A \otimes H^B &\longrightarrow H^A \otimes H^B, \\ |a\rangle^n \otimes |b\rangle^n &\mapsto |a\rangle^n \otimes |b \oplus f(a)\rangle^n. \end{aligned}$$

**Schritt 1:** Präpariere den Zustand  $|\Psi_1\rangle = |0\rangle^n \otimes |0\rangle^n$ .

**Schritt 2:** Wende die  $n$ -fache Hadamardtransformation  $H^{\otimes n}$  auf das erste Register  $H^A$  an. Wir erhalten dadurch den Zustand

$$|\Psi_2\rangle = \frac{1}{\sqrt{2^n}} \sum_{x=0}^{2^n-1} |x\rangle^n \otimes |0\rangle^n.$$

**Schritt 3:** Wende das Quantenorakel  $U_f$  an. Wir erhalten

$$|\Psi_3\rangle = \frac{1}{\sqrt{2^n}} \sum_{x=0}^{2^n-1} |x\rangle^n \otimes |f(x)\rangle^n.$$

**Schritt 4:** Miss das zweite Register  $H^B$ .

**Schritt 5:** Wende nochmals  $H^{\otimes n}$  auf das erste Register  $H^A$  an.

**Schritt 6:** Miss das erste Register  $H^A$ .

Schritt 6 liefert ein  $z \in \{0, 1\}^n$ . Wir wiederholen die Schritte 1 - 6 solange, bis wir  $n - 1$  linear unabhängige Vektoren  $z_1, \dots, z_{n-1}$  gefunden haben. Dies ist der Quantenteil des Algorithmus. Es folgt ein klassischer Teil.

**Schritt 7:** Löse das lineare Gleichungssystem

$$z_1 \cdot t \equiv 0 \pmod{2}, \dots, z_{n-1} \cdot t \equiv 0 \pmod{2}.$$

Dieses lineare Gleichungssystem hat einen eindimensionalen Lösungsraum, also eine zweielementige Lösungsmenge  $\{0, s\}$ .

**Schritt 8:** Falls  $f(0) = f(s)$  gilt, so ist  $f$  vom Typ P mit Periode  $s$ . Andernfalls ist  $f$  vom Typ B.

Wir beginnen die Analyse des Algorithmus mit der Messung in Schritt 4. Sei  $|y\rangle^n \in H^B$  das Messergebnis und  $x$  ein Urbild von  $y$ , d.h.  $f(x) = y$ .

Falls  $f$  vom Typ P ist, so projiziert die Messung das Quantensystem in den Zustand

$$|\Psi_4\rangle = \frac{1}{\sqrt{2}} (|x\rangle^n + |x \oplus s\rangle^n) \otimes |f(x)\rangle^n.$$

In Schritt 5 wird  $|\Psi_4\rangle$  in den Zustand

$$|\Psi_5\rangle = \sum_{z=0}^{2^n-1} \alpha_z (|z\rangle^n \otimes |f(x)\rangle^n)$$

transformiert, wobei die Amplitude  $\alpha_z$  von  $|z\rangle^n \otimes |f(x)\rangle^n$  durch

$$\alpha_z = \begin{cases} \frac{\pm 1}{\sqrt{2^n}}, & \text{falls } z \cdot s \equiv 0 \pmod{2}, \\ 0, & \text{falls } z \cdot s \equiv 1 \pmod{2} \end{cases}$$

gegeben ist. Wir messen in Schritt 6 also stets ein  $z$  mit der Eigenschaft  $z \cdot s \equiv 0 \pmod{2}$ , d.h. wir finden eine nicht-triviale Gleichung für  $s$ .

## 2.3 Shors Faktorisierungsalgorithmus

### 2.3.1 Motivation

Sei  $N$  eine natürliche Zahl, die wir faktorisieren wollen. Gute Faktorisierungsalgorithmen versuchen eine ganze Zahl  $x$  zu finden, so dass

$$x^2 \equiv 1 \pmod{N} \tag{1}$$

gilt. Falls dann  $x \not\equiv \pm 1 \pmod{N}$  ist, so liefert  $\text{ggT}(N, x \pm 1)$  einen echten Teiler von  $N$ .

Um Kongruenzen der Form (1) zu finden, wählen wir zufällig  $a \in \{1, \dots, N-1\}$  mit  $\text{ggT}(a, N) = 1$  und schreiben  $\bar{a} \in (\mathbb{Z}/N\mathbb{Z})^\times$  für die Nebenklasse von  $a$  modulo  $N$ . Wir berechnen nun die Ordnung  $r := \text{ord}(\bar{a})$  und falls  $r$  gerade ist, so setzen wir  $x := a^{r/2}$ . (Natürlich rechnen wir an jeder Stelle modulo  $N$ .) Mit einer gewissen Wahrscheinlichkeit ist  $r$  gerade und es gilt zusätzlich  $x \not\equiv \pm 1 \pmod{N}$ .

Die Quantenkomponente in Shors Algorithmus beschränkt sich auf die Berechnung der Ordnung  $r = \text{ord}(\bar{a})$ .

### 2.3.2 Ordnungsbestimmung

Sei  $N \in \mathbb{N}$  und  $G = (\mathbb{Z}/N\mathbb{Z})^\times$ . Sei  $0 \leq x < N$  und es gelte  $\text{ggT}(x, N) = 1$ . Dann ist  $\bar{x} \in G$  und wir wollen  $\text{ord}(\bar{x})$  bestimmen.

Sei  $L := \lceil \log_2(N) \rceil$ . Wir betrachten den unitären Operator

$$U: \mathcal{H}^{\otimes L} \longrightarrow \mathcal{H}^{\otimes L},$$

$$|y\rangle^L \longmapsto \begin{cases} |xy \bmod N\rangle^L, & \text{falls } 0 \leq y \leq N-1, \\ |y\rangle^L, & \text{sonst.} \end{cases}$$

**Lemma 2.3.1** Für  $0 \leq s \leq r-1$  sei

$$|u_s\rangle := \frac{1}{\sqrt{r}} \sum_{k=0}^{r-1} \exp(-2\pi i s k / r) |x^k \bmod N\rangle^L.$$

- a) Für  $0 \leq s \leq r-1$  ist  $|u_s\rangle$  ein Eigenzustand von  $U$  mit Eigenwert  $\exp(2\pi i s / r)$ .  
 b) Es gilt

$$\frac{1}{\sqrt{r}} \sum_{s=0}^{r-1} |u_s\rangle = |1\rangle^L.$$

Wendet man nun den Phasenschätzer auf den Zustand  $|0\rangle^t \otimes |1\rangle^L$  an, so erhält man einen Zustand

$$\frac{1}{\sqrt{r}} \sum_{s=0}^{r-1} |x_s\rangle^t \otimes |u_s\rangle.$$

Setzt man  $\tilde{\varphi}_s := x_s / 2^t$ , so ist  $\tilde{\varphi}_s$  mit einer positiven Wahrscheinlichkeit eine gute Approximation an die Phase  $s/r$ . Genauer kann man zeigen: Setzt man  $t = (2L+1) + \lceil \log_2(2 + \frac{1}{2\varepsilon}) \rceil$  und fixiert  $s$ , so misst man  $\tilde{\varphi}_s$  mit Wahrscheinlichkeit  $1/r$  und mit einer Erfolgswahrscheinlichkeit  $\geq (1-\varepsilon)$  ist  $\tilde{\varphi}_s$  eine Approximation an  $s/r$  mit einer Genauigkeit von  $2L+1$  Bits, d.h.  $|\tilde{\varphi}_s - \frac{s}{r}| < \frac{1}{2^{2L+1}}$  (vgl. Aufgabe 1, Blatt 10).

Mit Hilfe der Theorie der Kettenbruchentwicklung kann man nun aus der Kenntnis der Approximation  $\tilde{\varphi}_s$  die Ordnung  $r$  berechnen. Es gilt (vgl. Aufgabe 4, Blatt 7):

**Satz 2.3.2** Sei  $\frac{s}{r} \in \mathbb{Q}$  und es gelte  $|\frac{s}{r} - \tilde{\varphi}_s| \leq \frac{1}{2r^2}$ . Dann ist  $s/r$  ein Teilbruch in der Kettenbruchentwicklung von  $\tilde{\varphi}_s$ .

Falls wir also eine gute Approximation an  $s/r$  haben, so produziert uns die Kettenbruchentwicklung von  $\tilde{\varphi}_s$  endlich viele Zahlen  $p_0, q_0, p_1, q_1, \dots$  so dass für ein  $i$  gilt

$$\frac{s}{r} = \frac{p_i}{q_i}.$$

Man beachte, dass der Bruch  $\frac{p_i}{q_i}$  stets gekürzt ist. Wir durchlaufen nun die endliche Liste  $q_0, q_1, \dots$  und testen, ob  $x^{q_i} \equiv 1 \pmod{N}$  erfüllt ist.

Im wesentlichen können zwei Dinge schief gehen.

- 1) Mit einer gewissen Wahrscheinlichkeit wird ein schlechter Schätzwert für die Phase  $s/r$  berechnet. In diesem Fall starten wir einen neuen Versuch (eventuell sogar mit dem gleichen  $x$ ).
- 2) Falls wir ein  $s$  messen, so dass  $s/r$  nicht gekürzt ist, so liefert der Kettenbruchalgorithmus einen echten Teiler  $r'$  von  $r$ . Auch in diesem Fall starten wir von neuem.

### 2.3.3 Der Faktorisierungsalgorithmus im Überblick

**Eingabe:** Eine zusammengesetzte Zahl  $N$  mit mindestens zwei Primfaktoren.

**Ausgabe:** Ein nicht-trivialer Teiler von  $N$ .

**Laufzeit:**  $O((\log_2(N))^3)$ .

**Schritt 1:** Wähle  $b \in \mathbb{N}$  mit  $1 < b < N$  und bestimme  $d := \text{ggT}(b, N)$ . Falls  $d > 1$ , so gib  $d$  aus und beende den Algorithmus.

**Schritt 2:** Bestimme  $r := \text{ord}(\bar{b})$  mit dem Quanten-Algorithmus zur Ordnungsberechnung. Falls  $r$  ungerade ist, so gehe zu Schritt 1. Andernfalls gehe zu Schritt 3.

**Schritt 3:** Berechne  $d := \text{gcd}(N, b^{r/2} \pm 1)$ . Falls  $1 < d < N$ , so gib  $d$  aus. Andernfalls gehe zu Schritt 1.

### 2.3.4 Ordnungsbestimmung mit Fouriersampling

Sei  $1 < b < N$  mit  $\text{ggT}(b, N) = 1$  gegeben. Betrachte die Abbildung  $f = f_{b,N}: \mathbb{N}_0 \rightarrow \mathbb{N}_0$  gegeben durch  $f(n) = b^n \pmod{N}$ . Sei  $L := \lfloor 2 \log_2(N) \rfloor + 1$  und  $K \geq \lceil \log_2(N) \rceil$ . Sei  $H^A := {}^q H^{\otimes L}$  und  $H^B := {}^q H^{\otimes K}$ . Sei weiter  $U_f$  das Gatter, dass durch

$$U_f: H^A \otimes H^B \rightarrow H^A \otimes H^B, \quad |x\rangle^L \otimes |y\rangle^K \mapsto |x\rangle^L \otimes |y \oplus f(x)\rangle^K,$$

gegeben ist.

**Schritt 1:** Präpariere  $|\Psi_0\rangle := |0\rangle^L \otimes |0\rangle^K$  und wende im Register  $H^A$  die  $L$ -fache Hadamard-Transformation  $H^{\otimes L}$  an. Wir erhalten

$$|\Psi_1\rangle := \frac{1}{\sqrt{2^L}} \sum_{x=0}^{2^L-1} |x\rangle^L \otimes |0\rangle^K.$$

**Schritt 2:** Wende  $U_f$  an. Dies liefert

$$|\Psi_2\rangle := \frac{1}{\sqrt{2^L}} \sum_{x=0}^{2^L-1} |x\rangle^L \otimes |f(x)\rangle^K.$$

Schreibt man  $x = jr + k$  mit  $j \in \mathbb{N}_0$  und  $0 \leq k < r$ , so erhält man

$$|\Psi_2\rangle := \frac{1}{\sqrt{2^L}} \sum_j \sum_k |jr + k\rangle^L \otimes |f(k)\rangle^K.$$

**Schritt 3:** Wende die Quanten-Fourier-Transformation auf  $H^A$  an. Man erhält

$$|\Psi_3\rangle := \frac{1}{2^L} \sum_k \sum_j \sum_{l=0}^{2^L-1} \exp(2\pi i(jr + k)l/2^L) |l\rangle^L \otimes |f(k)\rangle^K.$$

**Schritt 4:** Miss das erste Register  $H^A$ .

Mit genügend großer Wahrscheinlichkeit messen wir ein  $z \in \{0, \dots, 2^L - 1\}$ , so dass ein  $l = l_z$  mit der Eigenschaft  $|zr - 2^L l| \leq r/2$  existiert. Für solch ein  $z$  gilt

$$\left| \frac{z}{2^L} - \frac{l_z}{r} \right| < \frac{1}{2r^2}.$$

Man kann also aus der Kenntnis von  $\frac{z}{2^L}$  mit der Kettenbruchmethode die Ordnung  $r$  berechnen.

### 3 Das versteckte Untergruppenproblem (Hidden Subgroup Problem (HSP))

Sei  $G$  eine Gruppe und  $H \leq G$  eine Untergruppe. Sei  $S$  eine endliche Menge und  $f: G \rightarrow S$  eine Abbildung. Man sagt, “ $f$  versteckt die Untergruppe  $H$ ”, falls für alle  $g_1, g_2 \in G$  gilt:

$$f(g_1) = f(g_2) \iff g_1H = g_2H.$$

Die Abbildung  $f$  induziert also eine injektive Abbildung  $G/H \hookrightarrow S$ . Man beachte aber, dass im Allgemeinen  $G/H$  keine Gruppe ist.

Das HSP ist nun das Problem, zu gegebenem  $f$  die versteckte Untergruppe  $H$  zu bestimmen. Falls  $G$  abelsch ist, so sprechen wir vom AHSP (Abelian Hidden Subgroup Problem).

#### 3.1 Das abelsche versteckte Untergruppenproblem (AHSP)

Ab jetzt sei  $G$  endlich und abelsch. Sei  $G = \{g_1, \dots, g_{|G|}\}$  und sei  $n := \lceil \log_2 |G| \rceil$ . Wir wählen eine Teilmenge der Rechenbasis des  ${}^q\mathbb{H}^{\otimes n}$  der Kardinalität  $|G|$  und taufen ihre Elemente  $|g_1\rangle, \dots, |g_{|G|}\rangle$ , d.h.

$$\{|g_1\rangle, \dots, |g_{|G|}\rangle\} \subseteq \{|x\rangle^n : 0 \leq x < 2^n\} \subseteq {}^q\mathbb{H}^{\otimes n}.$$

Setze  $H^A := \langle |g_1\rangle, \dots, |g_{|G|}\rangle_{\mathbb{C}} \subseteq {}^q\mathbb{H}^{\otimes n}$ . Dann ist  $H^A$  ein Hilbertraum mit ONB  $|g_1\rangle, \dots, |g_{|G|}\rangle$ . Sei  $m := |S|$  und  $H^B := {}^qH^{\otimes m}$ . Sei  $S = \{s_0, \dots, s_{m-1}\}$ . Wir definieren

$$\tilde{\cdot}: S \rightarrow \{0, \dots, m-1\}, \quad s_j \mapsto j,$$

und identifizieren  $s_j$  mit  $|\tilde{s}_j\rangle = |j\rangle^m \in H^B$ .

**1.Schritt im AHSP-Algorithmus** Präpariere den Zustand

$$|\Psi_0\rangle := \frac{1}{\sqrt{|G|}} \sum_{g \in G} |g\rangle \otimes |0\rangle^m \in H^A \otimes H^B.$$

**Remark 3.1.1** Dieser Schritt hängt von der Gruppe  $G$  ab. Wir nehmen an, dass die Präparation von  $|\Psi_0\rangle$  polynomial in  $n$  ist.

**2.Schritt im AHSP-Algorithmus** Wir nehmen nun an, dass wir ein Gatter

$$\begin{aligned} U_f: H^A \otimes H^B &\longrightarrow H^A \otimes H^B, \\ |g\rangle \otimes |y\rangle^m &\mapsto |g\rangle \otimes |y \oplus \widetilde{f(g)}\rangle^m, \end{aligned}$$

zur Verfügung haben, das ebenfalls in polynomial (in  $n$ ) vielen “elementaren Rechenschritten” realisiert werden kann.

Wir wenden nun  $U_f$  auf  $|\Psi_0\rangle$  an und erhalten den neuen Zustand

$$|\Psi_1\rangle := U_f |\Psi_0\rangle = \frac{1}{\sqrt{|G|}} \sum_{g \in G} |g\rangle \otimes |\widetilde{f(g)}\rangle^m.$$

Nach dem zweiten Rechenschritt ignorieren wir das zweite Register  $H^B$ . Das Teilsystem  $H^A$  wird durch den Dichteoperator  $\rho^A$  beschrieben. Bezüglich der ONB  $\{|g_1\rangle, \dots, |g_{|G|}\rangle\}$  hat die darstellende Matrix die Koeffizienten

$$\rho_{g_1, g_2}^A = \begin{cases} \frac{1}{|G|}, & \text{falls } g_1H = g_2H, \\ 0, & \text{sonst.} \end{cases}$$



Im Folgenden schreiben wir  $[g] = gH$  für die Nebenklasse von  $g \in G$  nach  $H$  und setzen

$$\Psi_{[g]}^A := \frac{1}{\sqrt{|H|}} \sum_{t \in [g]} \langle t | = \frac{1}{\sqrt{|H|}} \sum_{h \in H} \langle gh |.$$

Es gilt dann:

$$\rho^A = \frac{|H|}{|G|} \sum_{[g] \in G/H} |\Psi_{[g]}^A\rangle \langle \Psi_{[g]}^A|.$$

Wir wenden nun im ersten Register  $H^A$  die Fouriertransformation

$$F_G = \frac{1}{\sqrt{|G|}} \sum_{g \in G} \sum_{\chi \in \hat{G}} \chi(g) |\chi\rangle \langle g|$$

an. Hierzu schreiben wir  $\hat{G} = \{|\chi_1\rangle, \dots, |\chi_{|G|}\rangle\}$  und identifizieren die Mengen  $\{|\chi_1\rangle, \dots, |\chi_{|G|}\rangle\}$  und  $\{|g_1\rangle, \dots, |g_{|G|}\rangle\}$ . Die Anwendung von  $F_G$  auf Register  $H^A$  transformiert den gemischten Zustand  $\rho^A$  in den Zustand  $F_G \rho^A F_G^*$ .

Wieder nehmen wir an, dass sich auch die Anwendung von  $F_G$  in polynomial (in  $n$ ) vielen elementaren Rechenschritten realisieren läßt.

Die Berechnung des Dichteoperators  $F_G \rho^A F_G^*$  liefert

$$F_G \rho^A F_G^* = \frac{|H|}{|G|} \sum_{[g] \in G/H} \frac{|H|}{|G|} \left( \sum_{\chi|_H=1} \chi(g) |\chi\rangle \right) \left( \sum_{\xi|_H=1} \bar{\xi}(g) \langle \xi| \right)$$

Sei nun  $H^\perp := \{\chi \in \hat{G} : \chi|_H = 1\}$ . Nach den Gesetzen der Quantenmechanik berechnet sich die Wahrscheinlichkeit  $P_\zeta$  ein festes  $\zeta \in \hat{G}$  zu messen nach der Formel

$$P_\zeta = \text{Tr}(|\zeta\rangle \langle \zeta| F_G \rho^A F_G^*) = \sum_a \langle e_a | \zeta \rangle \langle \zeta | F_G \rho^A F_G^* e_a \rangle,$$

wobei hier  $\{e_a\} \subseteq H^A$  eine ONB von  $H^A$  bezeichnet. Wir nehmen hier oE  $\{e_a\} = \{|\chi_1\rangle, \dots, |\chi_{|G|}\rangle\}$ . Man sieht leicht, dass stets ein  $\zeta \in H^\perp$  gemessen wird, und die Rechnung zeigt für  $\zeta \in H^\perp$

$$P_\zeta = \frac{|H|}{|G|}.$$

Wir durchlaufen nun den Algorithmus  $L$  mal ( $L$  geeignet, siehe unten) und messen  $\zeta_1, \dots, \zeta_L \in H^\perp$ . Sei  $P(\langle \zeta_1, \dots, \zeta_L \rangle = H^\perp)$  die Wahrscheinlichkeit, dass  $\zeta_1, \dots, \zeta_L$  die Gruppe  $H^\perp$  erzeugen. Dann gilt:

$$P(\langle \zeta_1, \dots, \zeta_L \rangle = H^\perp) \geq 1 - \frac{|G|}{2^L |H|}.$$

Setzen wir also zu gegebenem  $\varepsilon > 0$  für die Rechengenauigkeit  $L \geq \left\lceil \log_2 \left( \frac{|G|}{|H| \varepsilon} \right) \right\rceil$  an, so erhält man  $P(\langle \zeta_1, \dots, \zeta_L \rangle = H^\perp) \geq 1 - \varepsilon$ . Abschließend beachte man, dass unter der Voraussetzung  $\langle \zeta_1, \dots, \zeta_L \rangle = H^\perp$  gilt:

$$\bigcap_{i=1}^L \ker(\zeta_i) = H.$$

Mit Wahrscheinlichkeit  $\geq 1 - \varepsilon$  können wir also mit diesem Algorithmus die versteckte Untergruppe  $H$  berechnen. Unter geeigneten Voraussetzungen ist das Verfahren polynomial in  $n = \lceil \log_2(|G|) \rceil$ .

### 3.2 Darstellungstheorie endlicher Gruppen

Sei  $G$  eine endliche Gruppe. Eine Darstellung von  $G$  ist ein Gruppenhomomorphismus

$$\sigma: G \longrightarrow \mathrm{Gl}(V),$$

wobei  $V$  ein endlich dimensionaler  $\mathbb{C}$ -Vektorraum ist. Durch Wahl einer Basis von  $V$  erhält man einen Homomorphismus

$$A_{\sigma, v_1, \dots, v_n}: G \longrightarrow \mathrm{Gl}_n(\mathbb{C}), \quad n := \dim_{\mathbb{C}}(V).$$

Vermöge  $\sigma$  wird  $V$  zu einem  $G$ -Modul: für  $x \in G$  und  $v \in V$  setzt man  $xv := \sigma(x)(v)$ . Man beachte, dass die Wirkung von  $G$  auf  $V$  linear ist. Sei umgekehrt  $V$  ein endlich-dimensionaler  $\mathbb{C}$ -Vektorraum mit einer linearen  $G$ -Wirkung. Dann ist die Abbildung  $x \mapsto (v \mapsto xv)$  eine Darstellung. Wählt man eine Basis  $v_1, \dots, v_n$  von  $V$  und definiert  $A_{\sigma}(x) \in \mathrm{Gl}_n(\mathbb{C})$  durch  $(xv_1, \dots, xv_n) = (v_1, \dots, v_n)A_{\sigma}(x)$ , so erhält man

$$A_{\sigma, v_1, \dots, v_n}: G \longrightarrow \mathrm{Gl}_n(\mathbb{C}), \quad n := \dim_{\mathbb{C}}(V).$$

Wir machen im Weiteren keine Unterscheidung zwischen der Darstellung  $\sigma$  und der basisabhängigen Matrixdarstellung  $A_{\sigma}$  und benennen beides mit  $\sigma$ . Es ist stets aus dem Kontext klar, was gemeint ist. Den Vektorraum  $V$  nennen wir den Darstellungsraum von  $\sigma$ .

**Definition 3.2.1** Sei  $\sigma$  eine Darstellung. Dann nennt man  $d_{\sigma} := \dim_{\mathbb{C}}(V)$  den Grad der Darstellung.

**Definition 3.2.2** Zwei Darstellungen  $\sigma: G \longrightarrow V$  und  $\sigma': G \longrightarrow V'$  heißen isomorph, falls es einen Vektorraumisomorphismus  $f: V \longrightarrow V'$  gibt, der verträglich mit der  $G$ -Wirkung ist, d.h.  $f(xv) = xf(v)$  für alle  $x \in G, v \in V$ .

Man beachte, dass isomorphe Darstellungen stets denselben Grad haben. Wählt man Basen in  $V$  und  $V'$  und betrachtet  $\sigma$  und  $\sigma'$  als Homomorphismen  $G \longrightarrow \mathrm{Gl}_n(\mathbb{C})$ , so gilt:

$$V \simeq V' \text{ als } G\text{-Moduln} \iff \exists M \in \mathrm{Gl}_n(\mathbb{C}) \forall g \in G: \sigma(g)M = M\sigma'(g).$$

**Eine erste Tatsache:** Zu einer Darstellung  $\sigma$  kann man stets eine invertierbare Matrix  $S$  finden, so dass  $S^{-1}\sigma(x)S$  für alle  $x \in G$  unitär ist. Wir setzen daher ab jetzt voraus, dass  $\sigma(x)$  eine unitäre Abbildung bzw. Matrix ist.

Darstellungen kann man addieren: Falls  $V$  und  $V'$  zwei Darstellungsräume sind, so ist auch  $V \oplus V'$  ein Darstellungsraum. In Matrizen:

$$(\sigma \oplus \sigma')(g) = \left( \begin{array}{c|c} \sigma(g) & 0 \\ \hline 0 & \sigma'(g) \end{array} \right)$$

**Definition 3.2.3** Eine Darstellung  $\sigma$  heißt irreduzibel, wenn man  $\sigma$  nicht als Summe von Darstellungen schreiben kann.

**Einige weitere Tatsachen:**

- Es gibt bis auf Isomorphie nur endlich viele irreduzible Darstellungen. Genauer: Die Anzahl der irreduziblen Darstellungen (modulo Isomorphie) ist gleich der Anzahl der Konjugationsklassen von  $G$ . Wir bezeichnen mit  $\hat{G}$  die Menge der irreduziblen Darstellungen (modulo Isomorphie).
- Jede Darstellung ist isomorph zu  $\bigoplus_{\sigma \in \hat{G}} n_{\sigma} \sigma$  mit eindeutig bestimmten  $n_{\sigma} \in \mathbb{N}_0$ .

**Definition 3.2.4** Sei  $\sigma$  eine Darstellung. Dann nennt man  $\chi_{\sigma}: G \longrightarrow \mathbb{C}, \chi_{\sigma}(g) := \mathrm{Tr}(\sigma(g))$  den Charakter von  $\sigma$ .

Man beachte, dass isomorphe Darstellungen denselben Charakter haben.

**Eine weitere Tatsache:**

- $\sigma \simeq \sigma' \iff \chi_\sigma = \chi_{\sigma'}$ .

Ferner gilt:

- $\chi_\sigma(1) = d_\sigma$ .
- $\chi_\sigma(x^{-1}) = \overline{\chi_\sigma(x)}$ .
- $\chi_{\sigma \oplus \sigma'} = \chi_\sigma + \chi_{\sigma'}$ .

**Lemma 3.2.5** (Schur) Seien  $\sigma$  und  $\sigma'$  zwei irreduzible Darstellungen und  $M \in \mathbb{C}^{d_\sigma \times d_{\sigma'}}$  erfülle

$$\sigma(x)M = M\sigma'(x), \forall x \in G.$$

Dann gilt:

- (a)  $\sigma \neq \sigma' \implies M = 0$ ,
- (b)  $\sigma = \sigma' \implies M = \alpha I_{d_\sigma}, \alpha \in \mathbb{C}$ .

Schurs Lemma impliziert die Identitäten des folgenden Satzes.

**Satz 3.2.6** Sei  $\sigma, \sigma' \in \hat{G}$ .

a) Für alle  $1 \leq i, j \leq d_\sigma$  und  $1 \leq i', j' \leq d_{\sigma'}$  gilt

$$\frac{d_\sigma}{|G|} \sum_{x \in G} \sigma(x)_{ij}^* \sigma'(x)_{i'j'} = \begin{cases} 1, & \text{falls } \sigma = \sigma', i = i', j = j', \\ 0, & \text{sonst.} \end{cases}$$

b)

$$(\chi_\sigma, \chi_{\sigma'}) := \frac{1}{|G|} \sum_{x \in G} \overline{\chi_\sigma(x)} \chi_{\sigma'}(x) = \begin{cases} 1, & \text{falls } \sigma = \sigma', \\ 0, & \text{sonst.} \end{cases}$$

Wichtige Beispiele für Darstellungen sind die links- und die rechtsreguläre Darstellung. Sie sind definiert durch

$$L(x)|y\rangle := |xy\rangle, \quad R(x)|y\rangle := |yx^{-1}\rangle.$$

für  $x, y \in G$ .

**Satz 3.2.7**

- a)  $L \simeq \bigoplus_{\sigma \in \hat{G}} (\sigma \otimes I_{d_\sigma})$ .
- b)  $R \simeq \bigoplus_{\sigma \in \hat{G}} (I_{d_\sigma} \otimes \sigma^*)$ .

Die nächste Folgerung verallgemeinert die bekannten Charakterrelationen aus der Theorie der abelschen Gruppen.

**Folgerung 3.2.8**

- a)  $\sum_{\sigma \in \hat{G}} d_\sigma^2 = |G|$ .
- b)  $\sum_{\sigma \in \hat{G}} d_\sigma \chi_\sigma(x) = \begin{cases} |G|, & \text{falls } x = 1, \\ 0, & \text{falls } x \neq 1. \end{cases}$

### 3.3 Die nicht-abelsche Fouriertransformierte

Wie im AHSP identifizieren wir die Gruppenelemente  $g \in G$  mit Elementen der Rechenbasis  $|g\rangle \in H^A := {}^q\mathbb{H}^{\otimes n}$ , wobei  $n := \lceil \log_2(|G|) \rceil$ . Wegen  $\sum_{\sigma \in \hat{G}} d_\sigma^2 = |G|$  können wir die Menge  $\{(\sigma, i, j) \mid \sigma \in \hat{G}, 1 \leq i, j \leq d_\sigma\}$  mit derselben Menge der Rechenbasis identifizieren und  $|\sigma, i, j\rangle$  schreiben. Wie früher setzen wir  $H^A := \langle |g\rangle : g \in G \rangle_{\mathbb{C}} = \langle |\sigma, i, j\rangle : \sigma \in \hat{G}, 1 \leq i, j \leq d_\sigma \rangle_{\mathbb{C}}$ . Wir definieren nun die Quanten-Fouriertransformierte  $F_G: H^A \rightarrow H^A$  im nicht-abelschen Fall. Dazu setzen wir

$$|\hat{g}\rangle := F_G|g\rangle := \frac{1}{\sqrt{|G|}} \sum_{\sigma \in \hat{G}} d_\sigma |\sigma, \sigma(g)\rangle$$

mit

$$|\sigma(g)\rangle = \sum_{j=1}^{d_\sigma} \sum_{k=1}^{d_\sigma} \frac{\sigma(g)_{jk}}{\sqrt{d_\sigma}} |j, k\rangle.$$

Äquivalent können wir schreiben

$$F_G = \sum_{g \in G} F_G|g\rangle\langle g| = \sum_{g \in G} |\hat{g}\rangle\langle g| = \sum_{g \in G} \sum_{\sigma \in \hat{G}} \sqrt{\frac{d_\sigma}{|G|}} \sum_{j,k=1}^{d_\sigma} \sigma(g)_{jk} |\sigma, j, k\rangle\langle g|$$

Man beachte, dass die Definition von  $F_G$  abhängig von der Wahl einer Basis des Darstellungsraumes  $V_\sigma$  ist.

**Lemma 3.3.1**  $F_G$  ist unitär.

### 3.4 Weak Fourier sampling im NAHSP

**Schritt 1:** Erzeuge den Zustand

$$|G\rangle := \frac{1}{|G|} \sum_{x \in G} |x\rangle \in H^A.$$

**Schritt 2:** Wende das Gatter  $U_f$  an und erhalte

$$\frac{1}{|G|} \sum_{x \in G} |x\rangle \otimes |f(x)\rangle \in H^A \otimes H^B.$$

Hier ist wie im AHSP  $m = |S|$  und  $H^B := {}^qH^{\otimes m}$ .

**Schritt 3:** Vergiss das zweite Register  $H^B$ . Der Zustand in  $H^A$  wird dann beschrieben durch den Dichteoperator

$$\rho^A = \rho_H := \frac{1}{|G|} \sum_{x \in G} |xH\rangle\langle xH|,$$

wobei wir für  $x \in G$

$$|xH\rangle := \frac{1}{\sqrt{|H|}} \sum_{h \in H} |xh\rangle$$

definieren. Man nennt  $\rho_H$  den "hidden subgroup state". Eine Rechnung zeigt nun, dass  $F_G \rho_H F_G^*$  bezüglich der gewählten Basis die Matrixdarstellung

$$F_G \rho_H F_G^* = \frac{1}{|G|} \bigoplus_{\sigma \in \hat{G}} (I_{d_\sigma} \otimes \sigma(H)^*) \text{ mit } \sigma(H) := \sum_{h \in H} \sigma(h) \in M_{d_\sigma}(\mathbb{C})$$

hat. Die Matrix zu  $F_G \rho_H F_G^*$  ist also eine Blockdiagonalmatrix der Form

$$\left( \begin{array}{ccc} \ddots & & \\ & \frac{1}{|G|} \sigma(H)^* & \\ & & \ddots \end{array} \right)_{\sigma \in \hat{G}}$$

Da diese Matrix Blockdiagonalgestalt hat, kann man  $\sigma \in \hat{G}$  messen, und zwar mit der Wahrscheinlichkeit

$$P(\sigma) = \frac{d_\sigma}{|G|} \sum_{h \in H} \chi_\sigma(h) = \frac{d_\sigma |H|}{|G|} (1_H, \text{Res}_H^G(\sigma)).$$

Es stellt sich nun die Frage, ob diese Informationen ausreichen, um das NAHSP in polynomialer Zeit (in  $n$ ) zu lösen. Im Allgemeinen geht das nicht auf diese Art und Weise, es reicht aber, um normale Untergruppen  $H$  zu finden. Falls nämlich  $H$  ein Normalteiler ist, so folgt

$$P(\sigma) = \begin{cases} \frac{d_\sigma^2 |H|}{|G|}, & \text{falls } H \subseteq \ker(\sigma), \\ 0, & \text{sonst.} \end{cases}$$

Wir können daher wie im AHSP vorgehen.

## 4 Literatur

Die Vorlesung orientiert sich über weite Strecken an dem Buch [Sch] von Wolfgang Scherer. Ein sehr einfacher Einstieg ist durch [Hom] gegeben. Aus diesem Buch ist die Präsentation von Simons Algorithmus entnommen. Ein wichtiges Buch in dieser Theorie ist [NC00]. Ihm ist unter anderem die Darstellung des Phasenschätzers entnommen.

Für das HSP (und auch anderes) sind [CvD10] und [HRTS03] interessant.

### Literatur

- [CvD10] Andrew M. Childs and Wim van Dam, *Quantum algorithms for algebraic problems*, Rev. Modern Phys. **82** (2010), no. 1, 1–52. MR 2629607
- [Hom] Matthias Homeister, *Quantum computing verstehen*.
- [HRTS03] Sean Hallgren, Alexander Russell, and Amnon Ta-Shma, *The hidden subgroup problem and quantum computation using group representations*, SIAM J. Comput. **32** (2003), no. 4, 916–934. MR 2001890
- [NC00] Michael A. Nielsen and Isaac L. Chuang, *Quantum computation and quantum information*, Cambridge University Press, Cambridge, 2000. MR 1796805
- [Sch] Wolfgang Scherer, *Mathematics of quantum computing*.